

التصويف الضوئي للمستحلب الدهني 20% Intralipid عند الطول الموجي 405 نانومتر

علي شاهين^{*} ، مصطفى صائم الدهر^{**} ، وسام بشير^{***}

(الإيداع: 30 آيلول 2019، القبول: 25 حزيران 2019)

ملخص:

يهدف هذا العمل إلى تحديد المعاملات الضوئية للمستحلب الدهني 20% Intralipid عند الطول الموجي 405 نانومتر. وللهذا الغرض فقد تم استخدام طريقتين الأولى نموذج كوبيلكا-منك المعدل والثانية هي نظرية ماي. وبالاعتماد على منظومة الكرة التكاملية تم تحديد أطيف النفاذية والانعكاسية الانشرارية ومطيافية نفاذ الحرمة المتوازية لتسجيل طيف النفاذية المتوازية. لدى مقارنة نتائج النموذجين السابقين لاحظنا تقارباً كبيراً في قيم معامل التبعثر هذا من ناحية يؤكّد إمكانية استخدام نموذج كوبيلكا-منك المعدل مع منظومة الكرة التكاملية ومن ناحية أخرى يبيّن إمكانية استخدام معادلة كوشي لتحديد الجزء الحقيقي لقرينة انكسار المستحلبات الدهنية. إضافة لذلك تم تحديد معامل الامتصاص، عامل اللامثائل وقرينة الانكسار العقدية التي حسبت بالاعتماد على قيمة معامل الامتصاص.

الكلمات المفتاحية : الكرة التكاملية-معامل التبعثر-عامل اللامثائل-معامل الامتصاص-قرينة الانكسار.

^{*} طالب دكتوراه - المعهد العالي لبحوث الليزر و تطبيقاته-جامعة دمشق

^{**} عميد المعهد العالي لبحوث الليزر وتطبيقاته- المعهد العالي لبحوث الليزر و تطبيقاته-جامعة دمشق

^{***} رئيس قسم فيزياء وتقانة الليزر - المعهد العالي لبحوث الليزر وتطبيقاته-جامعة دمشق

Optical Characterization of Intralipid 20% at Wavelength 405nm

Ali Shahin^{*1}, Moustafa Sayem El-Daher², Wesam Bachir³

(Received: 30 September 2018, Accepted: 25 June 2019)

Abstract:

The aim of this study is the determination of Intralipid 20% optical parameters at wavelength 405nm. Therefore, two methods were used, the first one was a modified Kubelka–Munk model and the second one was Mie theory. For this purpose, a single integrating sphere system was set up to determine the diffuse reflection and transmission spectrum and collimated transmission spectroscopy to determine the collimated transmission spectrum. Comparison of scattering coefficients which are calculated by these two methods were matched, and proved the applicability of a modified Kubelka–Munk model with a single integrating sphere system and Cauchy equation for estimation the real part of fat emulsion's refractive index. Besides to calculate absorption coefficient, anisotropy factor and imaginary refractive index depend on the coefficient absorption.

Keywords: single integrating sphere–scattering coefficient–anisotropy factor–absorption coefficient– refractive index

¹ PhD candidate, Higher Institute for Laser Research and Applications–Damascus university–0988165338.

² The Dean of Higher Institute for Laser Research and Applications– Higher Institute for Laser Research and Applications–Damascus University

³ Head of Laser Physics and Technology– Higher Institute for Laser Research and Applications–Damascus University

1_ مقدمة:

إن التعاظم الكبير لأهمية الطرائق الطيفية ودخولها في شتى المجالات العلمية والبحثية وخاصة الطبية منها كان له دور كبير في ظهور النماذج الضوئية الفيزيائية. النماذج الضوئية الفيزيائية هي عبارة عن أداة مخبرية تستخدم لمحاكاة النسيج الحي ضوئياً، فهي تعتبر وسيلة هامة لعمليات تطوير واختبار المنظومات الضوئية عامة وأنظمة التشخيص الطبي خاصة (Pouge و Patterson ، 2006). نظراً لكون النسيج الحيوي يعتبر وسطاً مضطرباً أي يحصل فيه فعلي الامتصاص والتبعثر فلذلك كان لابد لهذه النماذج الضوئية من أن تحاكي كمياً و نوعياً الخصائص الضوئية للنسيج المعتبر و لتحقيق هذا كان لابد من مزج مواد ماصة وأخرى مبعثرة بحيث تتطابق المعاملات الضوئية لهذا الوسط مع النسيج المعتبر (Hwang و Zmaloë، 2012). من جانب آخر فقد تتنوعت المواد المستخدمة في بناء النماذج الضوئية الفيزيائية والتي تستخدم لمحاكاة الامتصاص وذكر منها على سبيل المثال الحبر الهندي والدم والأصبغة الغذائية (Haj-Hossenii و Zmaloë، 2010؛ Spinelli و Zmaloë، 2007؛ Ninni و Zmaloë، 2010). أما لمحاكاة التبعثر فأكثر المواد استخداماً هي المستحلبات الدهنية التي تتتنوع في أسمائها والتي تكون بشكل أساسى من زيت الصويا، الشحوم الفوسفورية، الغليسيرول والماء، لقد كثر استخدام هذه المواد عالمياً نظراً لخصائصها الكثيرة فهي رخيصة، آمنة ومتجانسة (Flock و Zmaloë، 1992؛ Michels و Zmaloë، 2008؛ Ninni و Zmaloë، 2011). لكن نظراً لكثره إنتاجها وتوع طرائق تصنيعها وطرائق توصيفها ودراستها فقد تتنوع معها خصائصها الضوئية لدرجة أنها لم تعد تعتبر بمثابة معيار. فمعظم الدراسات السابقة لم تتفق على معاملات ضوئية محددة بدقة لكل نوع منها ويعزى السبب في ذلك لطرائق التصنيع والتوصيف المتباينة (Michels و Zmaloë، 2008؛ Spinelli و Zmaloë، 2007؛ Ninni و Zmaloë، 2014).

من ناحية أخرى فإن هناك العديد من طرائق التوصيف الضوئية ولكن تعتبر الطرائق غير المباشرة والقائمة على تسجيل طيفي الانعكاسية الانشارية R والنفاذية الانشارية T باستخدام الكرة التكاملية بالإضافة إلى طيف النفاذية المتوازية C باستخدام مطيافية نفاذ الحزمة المتوازية من ثم تحليل هذه الأطيفات بالاعتماد على إحدى النماذج الرياضية من أفضل الطرق ودققتها تتبع للنماذج الرياضية التحليلية والعددية المستخدمة (Wilson و Zmaloë، 1987؛ Holmer و Zmaloë، 2007؛ Soleimanzad و Zmaloë، 2017). من هذه النماذج الرياضية التحليلية ذكر نموذج كوبيلكا-منك Kubelka-Munk حيث يعتبر من أبسط النماذج الرياضية التحليلية وأكثراها دقة (Yang و Kruse، 2004؛ Thennadil، 2008).

في هذا البحث سوف نقوم بتوصيف الخصائص الضوئية للمستحلب الدهني Intralipid 20% (Sigma Aldrich,Germany) عند الطول الموجي 405nm متمثلة بمعامل الامتصاص والتبعثر وعامل اللامثال. لهذا الغرض قمنا ببناء منظومة الكرة التكاملية ومطيافية نفاذ الحزمة المتوازية لتسجيل الأطيفات المطلوبة ممثلة بطييف النفاذية والانعكاسية الانشاريين وطيف النفاذية المتوازية، حيث سيتم تحليل هذه الأطيفات بالاعتماد على نموذج كوبيلكا-منك المعدل بغية التوصل للمعاملات الضوئية. بعدها ستم مقارنة النتائج التي تم التوصل إليها مع نتائج نظرية ماي.

2_ هدف البحث

يهدف هذا العمل إلى التالي :

1. بناء منظومة الكرة التكاملية ل القيام بتسجيل أطيف الانعكاسية الانشارية R والنفاذية الانشارية T بالإضافة إلى مطيافية نفاذ الحزمة المتوازية لتسجيل طيف النفاذية المتوازية C .
2. تحضير عينات Intralipid 20% متفاوتة التركيز وذلك عبر تمديد العينة النقية من المستحلب بالماء المقطر وذلك لتسجيل أطيف الانعكاسية والنفاذية الانشارية بالإضافة لطيف النفاذية المتوازية لهذه العينات.

3. استخدام نموذج كوبيلكا-منك Kubelka-Munk المعدل الذي يعتمد على الأطيف المسجل للعينات المدرسوة لتحديد معامل الامتصاص والتبعثر.
4. استخدام نظرية ماي Mie theory لتحديد معامل التبعثر وعامل اللامثال للمستحب المدرسو.
5. مقارنة قيم معامل التبعثر المحسوبة بكلتا الطريقتين وذلك لتبيان فعالية نموذج Kubelka-Munk المعدل.
6. حساب معامل الامتصاص وقرينة الانكسار العقدية لهذه المادة عند الطول الموجي 405nm.

3_ طرائق وأدوات البحث

Kubelka-Munk 1_ نموذج

يعتبر نموذج كوبيلكا-منك من أبسط النماذج الرياضية التحليلية التي تستخدم لعملية التقدير الكمي للمعاملات الضوئية باستخدام منظومة الكرة التكاملية. حيث يعتمد هذا النموذج على طيفي الانعكاسية الانتشارية والنفاذية الكلية فقط لتحديد معامل التبعثر المختزل μ' ومعامل الامتصاص μ_a . لكن هذا النموذج وعلى الرغم من سهولته إلا أنه يمتلك نقطة ضعف متمثلة بأنه لا يأخذ بعين الاعتبار الفرق الحاصل بين قرينتي انكسار الوسط المدرسو والوسط المحيط به (Vargas و Niklasson، 1997؛ Yang و Kruse، 2004). مؤخرًا قام Karinov وزملاؤه (2013) بتعديل هذا النموذج بحيث أصبح هذا النموذج يعتمد على طيف الانعكاسية الانتشارية R_d والنفاذية الانتشارية T_d وطيف النفاذية المتوازية T_c ، بالإضافة إلى إدخال حد جديد لتلافي الضعف لدى النموذج التقليدي. يعرف هذا الحد بمعامل نفاذ فريندل Frensel Power Transmission T_f ويعطي بالعلاقة التالية:

$$(1) T_f = \frac{4n}{(n+1)^2}$$

حيث أن n تمثل قرينة انكسار الوسط المدرسو. وأما بالنسبة لمعامل الامتصاص والتبعثر فإن المعادلات المعبرة عنهمما (Karinov وزملاؤه، 2013) :

$$(2) \mu_a = \frac{1}{d} \log\left(\frac{T_f^2}{T_d}\right) - \frac{2.R_d.T_f^2 \log(T_f^2/T_d)}{d.(T_f^4 - T_d^2)}$$

$$(3) \mu_s = \frac{1}{d} \log\left(\frac{T_d}{T_c}\right) + \frac{2.R_d.T_f^2 \log(T_f^2/T_d)}{d.(T_f^4 - T_d^2)}$$

Mie Theory 2_ نظرية ماي

تعتبر نظرية ماي Mie Theory بمثابة الحل التحليلي لمعادلات ماكسويل التي تصف تبعثر الأمواج الكهرومغناطيسية الحاصل بسبب جسيمات كروية الشكل بشكل إفرادي. تستخدم هذه النظرية لحساب معامل التبعثر واللامثال من أجل جسيمات كروية مثالية (van de Hulst، 1981). تعتمد هذه النظرية على أبعاد ونسبة الجسيمات المدرسوة بالإضافة إلى طول موجة الضوء الساقط على الجسيمات وقرينة انكسار كل من الوسط المحل والجسيمات المطلوب توصيفها ضوئياً. لتحديد قرينة انكسار كل من المحل (الماء المقطر) والمستحب المدرسو فإنه عادة ما يتم استخدام علاقة كوشي Cauchy Equation التي تعطى بالتالي (Michels و زملاؤه، 2008) :

$$(4) n(\lambda) = I + J/\lambda^2 + K/\lambda^4$$

حيث أن المعامل الخاص بالمستحلب الدهني $I_{soybean} = 1.451$ وللماء المقطر كمحل $I_{water} = 1.311$, أما بقية المعاملات $K = 1.132 \times 10^9$ و $J = 1.154 \times 10^4$ بشرط أن يقدر الطول الموجي للضوء المستخدم بالنانومتر.

تقوم نظرية ماي Mie بحساب كفاءة التبعثر $Q(r_i, \lambda)$ كتابع للطول الموجي ولأبعاد الجسيمات المعتبرة والتي تستخدم بدورها لحساب المقطع العرضي للتبعثر $\sigma_{scatt}(r_i, \lambda)$ وفقاً للعلاقة التالية (Matzler, van Staveren, 1991؛ زملاؤه، 2002):

$$(5) \sigma_{scatt}(r_i, \lambda) = \pi \cdot r_i^2 \cdot Q(r_i, \lambda)$$

بعد ذلك وبالاعتماد على قيم المقطع العرضي للتبعثر ومعامل الالامثل لكل جسيمة $g(r_i, \lambda)$ يتم حساب عامل لاماثل الوسط $(\lambda) g$ ومعامل تبعثر الوسط $(\lambda) \mu_s$ وفقاً للتالي:

$$(6) g(\lambda) = \frac{\sum_{i=1}^n g(r_i, \lambda) \cdot \sigma_{scatt}(r_i, \lambda) \cdot f(r_i, \lambda)}{\sum_{i=1}^n \sigma_{scatt}(r_i, \lambda) \cdot f(r_i, \lambda)}$$

$$(7) \mu_s(\lambda) = N_0 \cdot \sum_{i=1}^n \sigma_{scatt}(r_i, \lambda) \cdot f(r_i, \lambda)$$

حيث أن $f(r_i, \lambda)$ يمثل النسبة المئوية للجسيمة ذات نصف القطر r_i ضمن المستحلب المدروس أما المقدار N_0 يعبر عن كثافة المواد ضمن الوسط المدروس ويعطى بالعلاقة التالية:

$$(8) N_0 = \frac{\vartheta}{\sum_{i=1}^n \frac{4}{3} \pi r_i^2 \cdot f(r_i)}$$

أما ϑ يمثل حجم كل من الليستين Lecithin (إن وجد) وزيت الصويا Soya Oil ووفقاً للمادة المدروسة ومعلومات الشركة المصنعة فتبليغ قيمة هذا المعامل 0.239. أما بالنسبة لأبعاد الجسيمات فإنه قد تم الاعتماد على دراسات سابقة تخص هذا المركب (van Staveren, 1991).

3 تحضير العينات

في هذا العمل تمت دراسة المستحلب الدهني Intralipid 20% (Sigma Aldrich, Germany). حيث تم بداية تمديد هذا المركب باستخدام الماء المقطر للحصول على التراكيز التالية: (0.125, 0.25, 0.5, 1, 1.5, 2, 2.5, 3.75 %)، حيث تم قياس طيفي الانعكاسية الانشرارية R والنفاذية الانشرارية T لهذه التراكيز باستخدام منظومة الكرة التكاملية، نظراً لكون هذه التراكيز عالية فهذا منع من استخدامها لتحديد طيف نفاذ الحزمة المتوازية. لذلك قمنا بتمديد المادة بالماء المقطر مرة أخرى للحصول على تراكيز منخفضة (0.0107, 0.0147, 0.0214, 0.0294, 0.0588, 0.1176, 0.1765) %. هذه التراكيز التي سنقوم بتسجيل طيف النفاذية المتوازية لها باستخدام مطيافية نفاذ الحزمة المتوازية ومنه سيتم تحديد عامل التخادم كتابع للتركيز وبشكل معاكس نقوم بتحديد قيم طيف النفاذ المتوازى للتراكيز الأولية التي استخدمت في منظومة الكرة التكاملية لنتمكن من تطبيق المعادلات (2) و (3) وبالتالي حساب معامل الامتصاص والتبعثر.

4 مطيافية نفاذ الحزمة المتوازية

يبين الشكل(1) مخططاً تمثيلياً لمطيافية نفاذ الحزمة المتوازية المبنية. لبناء مطيافية نفاذ الحزمة المتوازية قمنا باستخدام ليزر بنفسجي مستمر (Matchbox, Integrated Optics, Lethuania) يعمل عند الطول الموجي 405 نانومتر والذي يمكننا التحكم باستطاعة خرجه باستخدام برنامج خاص Matchbox software متافق مع كافة أنظمة ويندوز، تبلغ الاستطاعة العظمى لهذا الليزر 80 ملي واط مصنوع مع ليف بصري. تم وضع العينة السائلة ضمن وعاء من الكوارتز مقطعيه 1سم وسماكة جدرانه 1مم وضع بدوره ضمن حامل عينة (CVH100, Thorlabs, USA). تم أخذ القياس باستخدام كاشف (S302C, Thorlabs, USA)، استطاعته العظمى 2 واط يتم اظهار القياسات باستخدام شاشة رقمية (PM200, Thorlabs, USA) حيث يوصل الكاشف بها عبر مأخذ خاص. إن هذه المطيافية تستخدم لقياس معامل التخادم الكلي للعينة ($\mu_t(\lambda)$) والذي يحسب بواسطة قانون بير-لامبيرت Beer-Lambert Law الذي يعطى وبالتالي (شاهين و بشير، 2017).

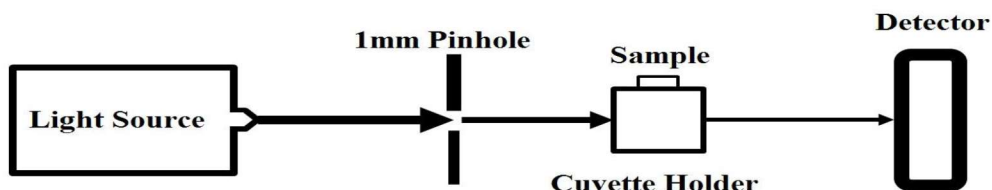
$$(9) I_z(\lambda) = I_0(\lambda) \cdot e^{-\mu_t(\lambda) \cdot z \cdot c}$$

$$(10) T = \frac{I_z(\lambda)}{I_0(\lambda)} = e^{-\mu_t(\lambda) \cdot z \cdot c}$$

حيث أن:

- $I_z(\lambda)$ تمثل شدة الضوء التي تعبر العينة المدروسة.
- $I_0(\lambda)$ تمثل الشدة الكلية المقاومة من خلال العينة التي تحوي على الماء المقطر (المحل).
- z يعبر عن طول المسار الضوئي وهنا يمثل سماكة العينة والذي يساوي 1سم،
- c يعبر عن التركيز الحجمي المئوي للمادة المدروسة ضمن العينة.
- T تعبر عن النفاذية (%) .

Collimated Transmission Spectroscopy

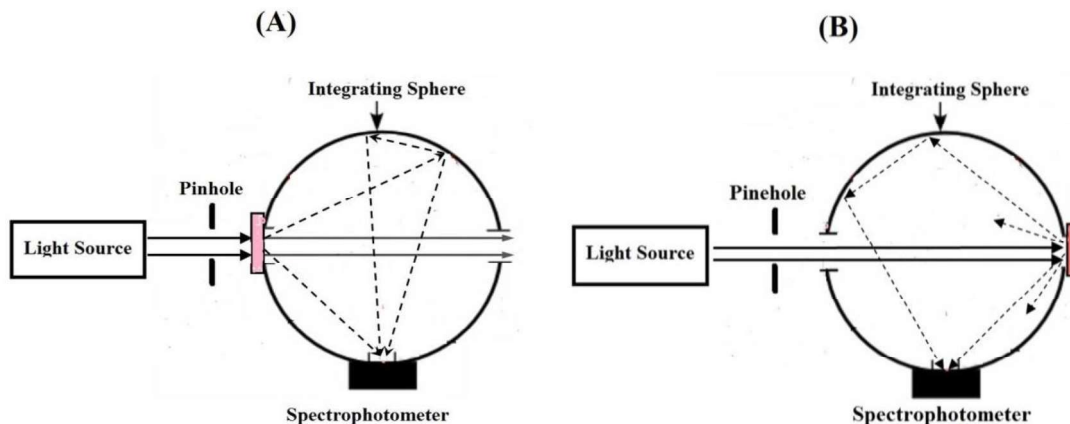


الشكل(1): المخطط الصندوقى لمطيافية نفاذ الحزمة المتوازية

ومن خلال قياس أطیاف النفاذية المتوازية يمكننا تحديد معامل التخادم من قانون بير-لامبيرت.

3 منظومة الكرة التكاملية

تتألف هذه المنظومة من كرة تكاملية (819C-IS-5.3, Newport, USA) بأربع مداخل، طليت السطوح الداخلية لهذه الكرة بمادة عالية الانعكاسية تصل إلى ما يقارب 99.9% وفقاً للمصنع. تستخدم منظومة الكرة التكاملية لقياس أطيف الانعكاسية والتفاذية الانشرارية كما هو موضح في الشكل (2). يمر الضوء الصادر عن المنبع الليزري (Matchbox, Integrated Optics, Lethuania) عبر ثقب ضوئي بقطر 1مم لي落 على العينة السائلة الموضوعة في حامل كوارتز مقطعي 1سم بسماكة جدران قدرها 1مم الذي يدوره محمول على حامل خاص بالكرة التكاملية. تم تسجيل أطيف الانعكاسية و التفاذية الانشرارية باستخدام مطياف (Maya Pro2000, Ocean Optics, USA) هذا المطياف الذي يتصل بالحاسوب عبر منفذ USB بحيث تظهر النتائج باستخدام برنامج خاص بهذا المطياف (Oceanview, Ocean Optics, USA) متافق مع أنظمة ويندوز .



الشكل (2): مخطط تمثيلي لمنظومة الكرة التكاملية لقياس طيف التفاذية الانشرارية (A)، وطيف الانعكاسية الانشرارية (B).

4_ النتائج و المناقشة

بداية فقد تم باستخدام مطيافية نفاذ الحزمة المتوازية Collimated Transmission Spectroscopy تحديد كل من الشدة الكلية ($I_0(\lambda)$) والنافذة ($I_z(\lambda)$ لكل عينة المستحلب الدهني المحضرة ذات التركيز التالية: (0.0107, 0.0147, 0.0214, 0.0294, 0.0588, 0.1176, 0.1765 لكل تركيز كما هو موضح بالجدول التالي.

الجدول(1): يبين قياسات مطيافية النفاذ ومعامل التخادم لكل تركيز.

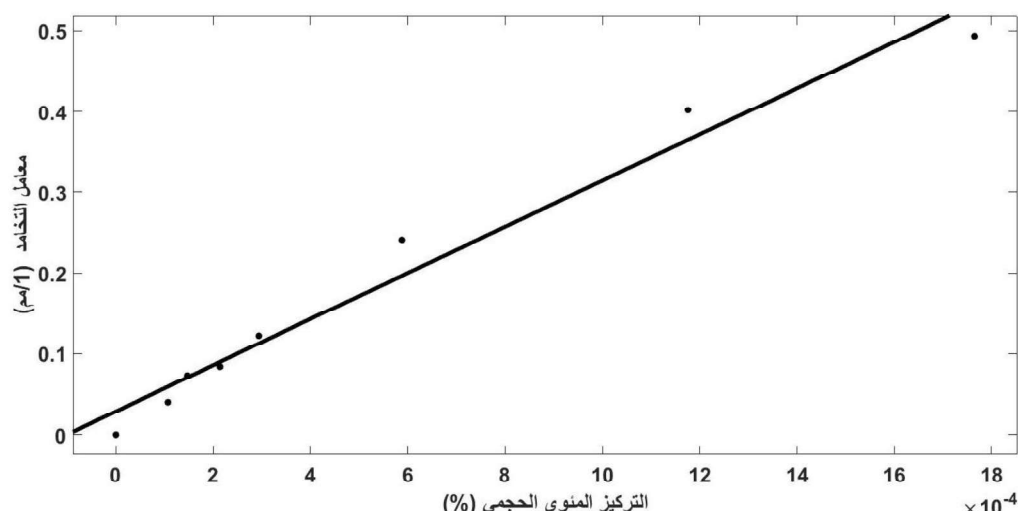
تركيز المستحلب $C_{IL}(v/v) \times 10^{-4}$	الشدة $I (\text{mW})$	النفاذية المتوازية $\%T_c$	μ_t (mm $^{-1}$)	17.65	11.76	5.88	2.94	2.14	1.47	1.07	0
0.02	0.05	0.25	0.82	1.2	1.34	1.86	2.78				
0.72	1.8	8.99	29.50	43.17	48.20	66.91	100				
0.493447	0.401818	0.240875	0.12209	0.084013	0.072978	0.040187	0				

بعدها تم تمثيل التركيز مع معامل التخادم بيانيًّا، الشكل (3)، ومنها وباستخدام وظيفة المواهمة في برنامج ماتلاب تم الحصول على علاقة خطية تجمع التركيز وعامل التخادم كما في التالي:

$$(11) \mu_t (\text{mm}^{-1}) = 285.6 * C_{IL}(v/v) + 0.02873$$

حيث أن: μ_t معامل تخادم عينة 20% ذات التركيز المئوي الحجمي C_{IL} .

الشكل (3): تغيرات معامل تخادم المستحلب الدهني 20% بدلالة التركيز المئوي الحجمي $C_{IL}(v/v)$



الشكل (3): تغيرات معامل تخادم المستحلب الدهني 20% بدلالة التركيز المئوي الحجمي

تعزى هذه النتيجة إلى أن ارتفاع تركيز المادة المبعثرة ضمن العينة سيؤدي بشكل طبيعي إلى زيادة أثرها وبالتالي زيادة معامل تخادمها، ندعو أمثل التركيز في المعادلة (11) أي المقدار 285.6 م $^{-1}$ بمعامل تخادم المستحلب الدهني 20% Intralipid عند الطول الموجي 405 نانومتر. بالنظر إلى الجدول السابق نلاحظ أن الاستطاعة النافذة لأعلى تركيز صغيرة جداً وإن هذا التركيز عندما قمنا بقياس الانعكاسية والتفاہمية الانتشارية له لاحظنا أنها منخفضة جداً وبالتالي فهذه التركيز لو قمنا بقياس أطيفها بواسطة منظومة الكرة التكاملية لما تمكننا من التقاط أطيف الانعكاسية والتفاہمية الانتشارية. لذلك كان لا بد لنا

من تحضير عينات بتركيز أعلى من السابقة المستخدمة في مطيافية نفاذ الحزمة المتوازية لنتتمكن من تسجيل الأطيف بوضوح. لذلك قمنا بتحضير عينات جديدة للمستحلب الدهني 20% وذلك عبر تمديد عينة نقية منه بالماء المقطر ليأخذ التراكيز التالية (0.125, 0.25, 0.5, 1, 1.5, 2, 2.5, 3.75 %) ثم وباستخدام منظومة الكرة التكاملية قمنا بتحديد أطيف الانعكاسية والتفاذه الانعكاسية كما في التالي.

الجدول 2: يبين اطيف الانعكاسية والتفاذه الانعكاسية لكل تركيز.

تركيز المستحلب $C_{IL} (v/v)$ $\times 10^{-4}$	الانعكاسية الانعكاسية $R_d (%)$	التفاذه الانعكاسية $T_d (%)$
375	250	200
16.05	15.39	15.09
2.13	2.79	2.93
150	14.11	3.71
100	13.13	3.87
50	12.47	5.78
25	11.47	8.19
12.5	9.54	15.62

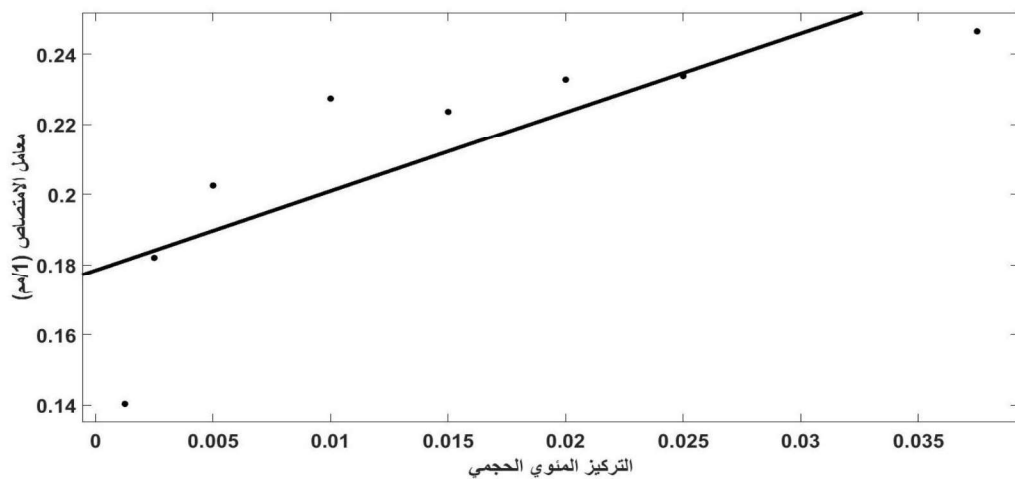
ثم وبعملية عكسية سنقوم بتقدير معامل التخادم لكل تركيز من التراكيز السابقة باستخدام العلاقة (11)، ثم نقوم بتحديد التفاذه المتوازية لكل تركيز من العلاقات (9) و (10). بعد ذلك نظراً لأننا تمكننا من تحديد قيم الانعكاسية والتفاذه الانعكاسية والتفاذه المتوازية فإن عملية تحديد معاملات التبعثر والامتصاص والتخادم باستخدام العلاقات (2) و (3) أصبحت ممكنة، كما في الجدول (3). ومن ثم قمنا بتمثيل التركيز ومعامل الامتصاص كما في الشكل (4) وتوصلنا باستخدام وظيفة المواجهة في برنامج ماتلاب لعلاقة تجمع التركيز مع معامل الامتصاص كما في التالي:

$$(12) \mu_a (mm^{-1}) = 2.249 * C_{IL} (v/v) + 0.1784$$

حيث أن: μ_a معامل امتصاص عينة 20% $Intralipid$ كتابع للتركيز.
 C_{IL} التركيز المئوي الحجمي لعينة 20% $Intralipid$.

الجدول 3: يبين قيم التفاذه المتوازية والمعاملات الضوئية للمستحلب الدهني 20%. $Intralipid$

تركيز المستحلب $C_{IL} (v/v)$ $\times 10^{-4}$	التفاذه المتوازية $T_c (%)$
2.30×10^{-47}	7.35×10^{-32}
10.4846	5.5003
0.2465	0.2338
10.7387	7.1687
200	1.17×10^{-25}
150	1.86×10^{-19}
100	2.96×10^{-13}
50	4.71×10^{-7}
25	5.94×10^{-4}
12.5	2.11×10^{-2}
معامل التبعثر $\mu_s (mm^{-1})$	معامل الامتصاص $\mu_a (mm^{-1})$
0.2338	0.2236
0.2328	0.2274
4.3127	2.8847
5.7407	1.4567
معامل التخادم $\mu_t (mm^{-1})$	

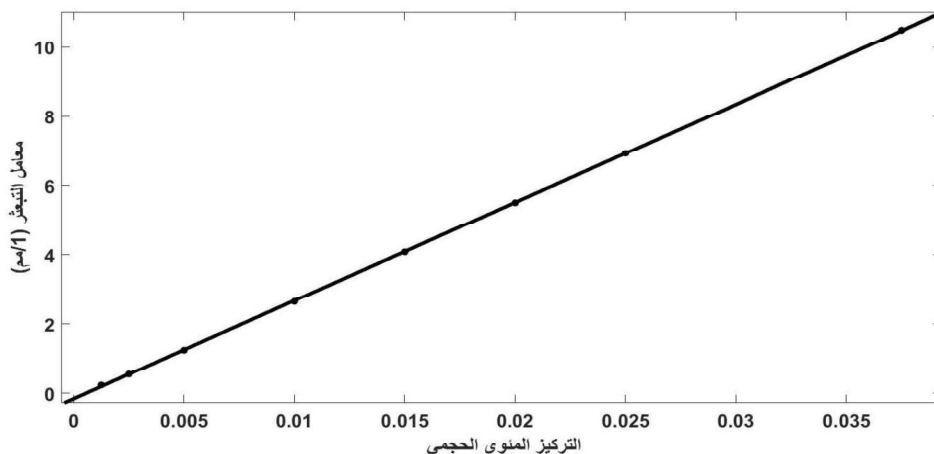


الشكل (4): تغيرات معامل امتصاص المستحلب الدهني 20% **Intralipid** مع التركيز المنوي الحجمي

لقد تم اختيار العلاقة الخطية لأن ذلك يتفق مع المبدأ النظري القائم على علاقة التاسب الطريدي بين المعامل الضوئي للمادة وتركيزها.

بالمثل قمنا بتمثيل تغيرات معامل التبعثر مع التركيز، الشكل (5). وباستخدام وظيفة المواجهة في برنامج الماتلاب قمنا بالتوصل لعلاقة خطية تجمع التركيز مع معامل التبعثر كما في التالي:

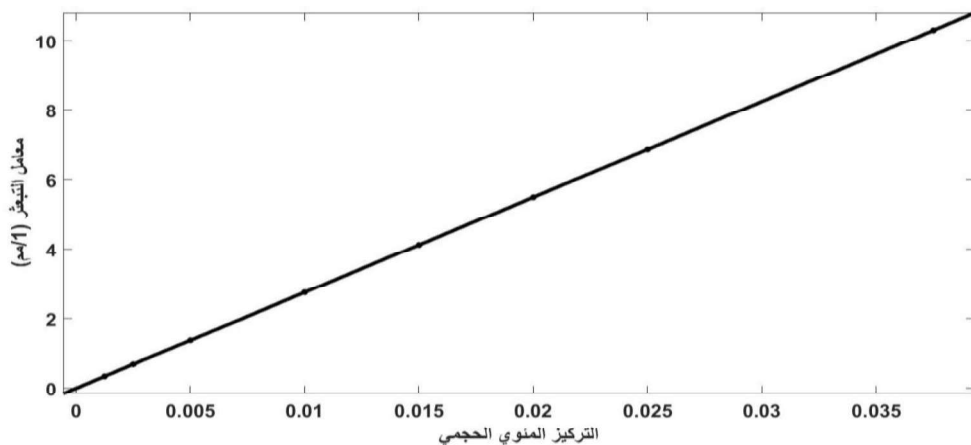
$$(13) \mu_s (mm^{-1}) = 283.4 * C_{IL} (v/v) - 0.1573$$



الشكل (5): تغيرات معامل التبعثر للمستحلب الدهني 20% **Intralipid** مع التركيز المنوي الحجمي

أما فيما يخص حسابات نظرية ماي فقد قمنا بحساب معامل التبعثر لكل عينة من العينات، ثم قمنا بتمثيلها بيانياً بدلالة التركيز المنوي الحجمي، الشكل (6)، أخيراً وباستخدام وظيفة المواجهة في برنامج ماتلاب توصلنا إلى العلاقة التالية:

$$(14) \mu_s (mm^{-1}) = 274.8 * C_{IL} (v/v)$$



الشكل (6): تغيرات معامل التبعثر المحسوب بواسطة Mie Theory بدلالة التركيز المنوي الحجمي

أما بالنسبة لقيمة معامل الامتصال g فقد تم التوصل لقيمة 0.8544 لعينة نقية من المستحلب الدهني دون تمديد. واستكمالاً لعملية التوصيف قمنا فيما يلي بحساب الجزء التخيلي لقرينة الانكسار باستخدام العلاقة التالية (Van de Hulst, 1981):

$$(15) k = \mu_a \cdot \lambda / 4\pi$$

حيث أن μ_a يمثل معامل امتصاص المادة، أما λ فيمثل طول موجة الضوء المستخدم. ومنها توصلنا إلى قيمة الجزء التخيلي لقرينة الانكسار العقدية والتي تساوي 7.8232×10^{-5} . نظراً للتوافق الحاصل بقيم معامل التبعثر المحسوب بنظرية ماري Mie Theory ونموذج كوبيلكا-منك Kubelka-Munk فإنه يمكن اعتبار أن الجزء الحقيقي لقرينة الانكسار المحسوب بالاعتماد على معادلة كوشي(4) صحيح وعليه يمكننا تلخيص النتائج التي تم التوصل إليها في الجدول التالي:

الجدول (4): الخصائص الضوئية للمستحلب الدهني 20% Intralipid 405 عند الطول الموجي 405 نانومتر

معامل التخاذم μ_t (mm^{-1})	معامل التبعثر Kubelka-munk μ_s (mm^{-1})	معامل التبعثر Mie Theory μ_s (mm^{-1})	معامل الامتصاص μ_a (mm^{-1})	عامل الامتصال g	الجزء الحقيقي من قرينة الانكسار n	معامل التخاذم μ_t (mm^{-1})
285.62873	283.2427	274.8	2.4274	0.8544	1.4793	7.8232×10^{-5}

إن توافق النتائج الحاصل بين نظرية ماري Mie Theory ونموذج كوبيلكا-منك Kubelka-Munk من جهة يؤكد على إمكانية تطبيق الأخير لعملية القياس باستخدام منظومة الكرة التكاملية ويؤكد على صحة النتائج التي تم التوصل إليها أيضاً وهذه النتائج التي بدورها توافقت مع اعمال أخرى. أما فيما يخص معامل الامتصاص الذي لطالما أهمل في معظم الدراسات ولم يحسب، فقد تم تحديده ولوحظ أن قيمته ليست بصغريرة لدرجة الإهمال. هذا المعامل يؤكد بدوره على أن قرينة انكسار هذه المادة هي مقدار عقدي، جزؤها الحقيقي يحدد بالاعتماد على معادلة كوشي (4)، و أما التخيلي فقد تم تحديده. وهذا ما لم يحدد مسبقاً.

5 الاستنتاجات

1. عند دراسة العلاقة بين التركيز والمعاملات الضوئية لاحظنا أن العلاقة طردية خطية وهذا ما يساعدنا في التحكم بالمعامل الضوئي للنموذج البنائي من خلال تغيير التركيز.
2. إن كبر معامل تبعثر هذا المستحلب يسمح باستخدامه في بناء نماذج ضوئية فيزيائية تحاكي أغلب أنسجة الجسم.
3. فعالية استخدام نموذج كوبيلكا-منك المعدل modified Kubelka-Munk model مع منظومة الكرة التكاملية الأنفة الذكر للقيام بعملية التوصيف الضوئي.

6 المقترنات والتوصيات

1. إنه لم يتحقق الاعتماد على نموذج كوبيلكا-منك المعدل في عملية توصيف المواد ضوئياً.
2. ضرورة التوصيف المسبق للمواد المستخدمة في بناء النماذج الضوئية الفيزيائية وذلك نظراً لتمايز خصائصها الضوئية تبعاً لنوع الشركة المصنعة وحتى لطرازها وللأداة المستخدمة في عملية التوصيف.
3. السعي لاختبار هذا النموذج على أنسجة حية باعتباره من أبسط النماذج التحليلية.

المراجع الأجنبية:

- 1- Flock, S., Jacques, S., Wilson, B., Star, W., and van Gemert, J.C, (1992). Optical properties of Intralipid: a phantom medium for light propagation studies. *Lasers in Surgery and Medicine.* 12(5):510–519.
- 2- Haj-Hossenii, N., Richter, J., and Andersson-Engles, S., (2010). Optical touch pointer for fluorescence guided glioblastoma resection using 5-aminolevulinic acid. *Lasers in Surgery and Medicine.* 42(1):9–14.
- 3- Hwang, J., Ramella-Roman, C.J., and Nordstrom, R., (2012). Introduction: feature issue on phantoms for the performance evaluation and validation of optical medical imaging devices. *Biomedical Optic Express.* 3(6):1399–1403.
- 4- Holmer, C., Lehmann, K., Wanken, J., Reissfelder, C., Roggan, A., Mueller, G., Buhr, H.J., and Ritz, J.P., (2007). Optical properties of adenocarcinoma and squamous cell carcinoma of the gastroesophageal junction. *J. Biomedical Optics.* 12(1): 014025–1 –8.
- 5- Karinov, A., Mokeeva, A., Sergeeva, E., Agrba, P., and Kirillin, M., (2013). Optical properties of mouse biotissues and their optical phantom. *Optics and Spectroscopy.* 14;115(2). 193–200.
- 6- Michels, R., Foschum, F., and Kienle, A., (2008). Optical properties of fat emulsions. *Optic Express.* 16(8):5907–5925.
- 7- Matzler, C., (2002). MATLAB Functions for Mie Scattering and Absorption. Bern university, Institute of Applied Physics, Microwave Department; 2002 Jun. Research report No: 2002–08.
- 8- Ninni, P.D., Martelli, F., and Zaccanti, G., (2011). Intralipid: towards a diffusive reference standard for optical tissue phantoms. *Physics in Medicine and Biology.* 56(2): 21–28.

- 9– Ninni, P.D., Martelli, F., and Zaccanti, G., (2010). The use of India ink in tissue-simulating phantoms. *Optic Express.* 18(26): 26854–26865.
- 10– Pogue, B.W., and Patterson, M.S., (2006). Review of tissue simulating phantoms for optical spectroscopy, imaging and dosimetry. *J. Biomedical Optic.* 11(4):041102–16.
- 11– Soleimanzad, H., Gurden, H., and Pain, F., (2017). Optical properties of mice skull bone in the 455– to 705–nm range. *J. Biomedical Optic.* 22(1): 010503–1–4.
- 12– Spinelli, L., Botwicz, M., Zolek, N., Kacprzak, M., Milej, D., Sawosz, P., Liebert, A., Weigel, U., Durduran, T., Foschum, F., Kienle, A., Baribeau, F., Leclair, S., Bouchard, J. P., Gallant, P., Mermut, O., Farina[<] A., Pifferi, A., Torricelli, A., Cubeddu, R., Ho, H. C., Mazurenka, M., Wabnitz, H., Klauenberg, K., Bodnar, O., Elster, C., Benazech–Lavoue[<] M., Berube–LLauziere, Y., Lesage, F., Khoptyar, D., Subash, A. A., Andersson–Engles, S., Di Ninni, P., Martelli, F., and Zaccanti, G., (2014). Determination of reference values for optical properties of liquid phantoms based on Intralipid and India ink. *Biomedical Optic Express.* 5(7): 2037–2053.
- 13– Spinelli, L., Martelli, F., Farina, A., Pifferi, A., Torricelli, A., Cubeddu R and Zaccanti, G., (2007). Calibration of scattering and absorption properties of a liquid diffusive medium at NIR wavelengths. Time–resolved method. *Optics Express* 15(11). 6589–6604.
- 14– Shahin, A., and Bachir, W., (2017). Broadband spectroscopy for characterization of tissue–like phantom optical properties. *Polish Journal of Medical Physics and Engineering.* 21; 23(4):121–126.
- 15– Thennadil, S., (2008). Relationship between the Kubelka–Munk scattering and radiative transfer coefficients. *Optical Society of America.* 25(7): 1480–1485.
- 16– van Staveren, H., Moes, C., van Marle, J., Prahl, S., and van Gemert, J., (1991). Light scattering in Intralipid–10% in the wavelength range of 400–1100 nm. *Applied Optics.* 30(31): 4507–4514.
- 17– Vargas, W., and Niklasson, G., (1997). Applicability conditions of the Kubelka–Munk theory. *Applied Optics.* 36 (22): 5580–5586.
- 18– van de Hulst, H.C., (1981). *Light Scattering by Small Particles.* 2nd ed. New York, Dover Publication, PP: 114–119.
- 19– Wilson, B., Patterson, M., and Flock, S., (1987). Indirect versus direct techniques for the measurement of the optical properties of tissues. *Photochemistry and. Photobiology.* 46(5): 601–608.
- 20– Yang, L., and Kruse, B., (2004). Revised Kubelka–Munk theory. I. Theory and application. . *Optical Society of America.* 21(10):1933–